

دوفصلنامه علمی-پژوهشی هیدروفیزیک

دوره سوم، شماره دوم (پاییز و زمستان ۱۳۹۶)

شبیه‌سازی انتشار آلودگی نفتی؛ مطالعه موردنی رو دخانه ارونده در ایران باقر بهروز^۱، ابوالفضل دلبزی^{۲*}، محمد فیاض محمدی^۳

bagherbehrooz@yahoo.com

^۱ دانشجوی کارشناسی ارشد، گروه فیزیک دریا، دانشگاه علوم و فنون دریایی خرمشهر، خرمشهر

abolfazl_delbari@yahoo.com

^۲* نویسنده مسئول، استادیار، گروه فیزیک دریا، دانشگاه علوم و فنون دریایی خرمشهر، خرمشهر

fayyaz1360@yahoo.com

^۳ استادیار گروه فیزیک دریا، دانشگاه علوم و فنون دریایی خرمشهر، خرمشهر

تاریخ پذیرش: ۹۷/۷/۲۵

تاریخ دریافت: ۹۷/۶/۱۳

چکیده

خطر انتشار آلودگی در اطراف پالایشگاه‌ها، تأسیسات نفتی و ناوگان تجاری بر اثر حوادث طبیعی و غیرمتوجه مورد توجه است. رو دخانه ارونده یکی از مهم‌ترین رو دخانه‌های قابل کشتیرانی ایران و عراق و محل تردید تعداد زیادی شناور نفتی است که این مسئله احتمال آلودگی نفتی را دوچندان کرده است. در این مقاله به منظور شبیه‌سازی هیدرودینامیکی از بسته نرم افزاری مدل مایک ۲۱ که بر اساس مدل دوبعدی جریان‌های آزاد سطحی است و توسط مؤسسه هیدرولیک دانمارک توسعه یافته، استفاده شده است. نتایج مدل هیدرودینامیک با استفاده از تراز سطح و سرعت آب کالبیره شده است. این مدل عددی بر پایه روش اویلری توسعه داده شده و در آن برای مشخص کردن الگوی حرکت جریان آبی از معادله‌های پیوستگی و ممنتوم (معادله‌های ناویر استوکس متوسط‌گیری شده در عمق)، استفاده شده است. پس از واسنجی، مقایسه نتایج مدل با اندازه‌گیری‌های میدانی نشان می‌دهد، مدل دارای دقت قابل قبولی در پیش‌بینی نوسان سطح آب، سمت و سرعت جریان دارد. برای شبیه‌سازی الگوی انتشار نفت، خروجی مژول هیدرودینامیک به مژول تحلیل نشت نفت اعمال شده است. مژول تحلیل نشت نفت از روش لاگرانژی ذرات برای پیش‌بینی غلظت و خصامت لکه نفتی استفاده می‌کند. نتایج مدل سازی نشان می‌دهد؛ چنانچه آلودگی هنگام شروع جزر به مدت سه ساعت در مقابل پالایشگاه نفت آبادان رخ دهد و دبی متوسط رو دخانه $480 \text{ m}^3/\text{s}$ باشد، بدون اعمال باد، آلودگی پس از ۱۲۴ ساعت به خلیج فارس می‌رسد.

واژه‌های کلیدی: اروندرود، آلودگی نفتی، مایک ۲۱/۳، هیدرودینامیک، مژول تحلیل نشت نفت

۱- مقدمه

مواد درون آب و سرعت باد و دیگر عوامل، آلودگی تخلیه شده به محیط شروع به پخش شدن در راستای افقی و قائم می‌کند که در سطح به انتشار معروف است [۱]. نشت و

وقتی آلودگی از یک منبع نقطه‌ای به محیطی تخلیه می‌شود، با توجه به خصوصیات آن آلاینده، دمای محیط، غلظت سایر

آسیب دیدگی احتمالی ناشی از نشت ناگهانی نفت از میدان‌های نفتی واقعی در این مناطق باشد. با توجه به حساسیت منطقه، مدل‌سازی عددی پخش و انتشار نفت در این منطقه ساحلی، به‌منظور طراحی یک برنامه مدیریتی کارا و پویا برای کاهش اثرات سوء و جانبی از چنین حادثی‌ها از اهمیت است. در رابطه با انتشار آلودگی نفتی تاکنون مطالعاتی انجام شده است که از جمله می‌توان به مطالعات انجام‌شده زیر اشاره کرد.

دیمیtar و همکاران، مدل کوهیرنس را برای بررسی آلودگی بیوژنوتیکی و انتقال آلودگی در سواحل ایتالیا (Sacca di goro) عملیاتی و کالیبره نمودند و زمان ماندگاری را برای قسمت‌های مختلف این سواحل موردنبررسی قرار دادند [۷]. مومن نیا و همکاران، با استفاده از مدل مایک ۲۱ به شبیه‌سازی پخش و انتشار لکه نفتی نشت شده در منطقه تنگه خوران واقع در خلیج فارس پرداخته‌اند. بر همین اساس، مطالعات برای دو سناریو شامل شبیه‌سازی نشت نفت بدون در نظر گرفتن پارامترهای باد و منطقه‌ای و شبیه‌سازی با در نظر گرفتن پارامترهای باد و مشاهده تأثیر باد در پخش و انتشار لکه نفتی در منطقه کانال قشم انجام شده است. نتایج بیانگر تأثیر قابل ملاحظه باد (سرعت و جهت وزش باد) در پخش، انتشار و همه فرایندهای هوازدگی نفت شامل تبخیر، انحلال، امولسیون و غیره است [۸].

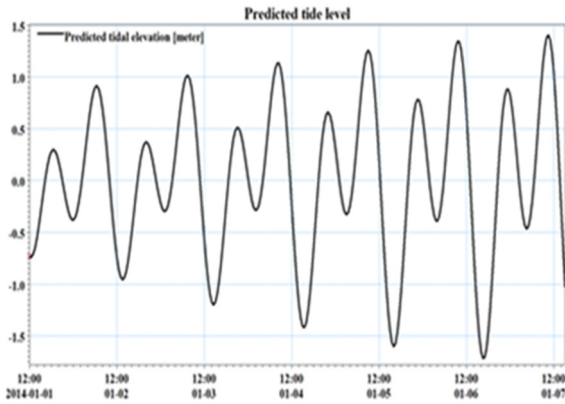
بدری و فقهی فرد، با استفاده از مدل مایک ۳ به شبیه‌سازی سه‌بعدی سرنوشت لکه نفتی با تأثیر فرایندهای مختلف از جمله باد، جزو مردم در خلیج فارس پرداخته‌اند. نتایج مطالعه ایشان نشان داد که سطح منطقه آلوده شده در پایان بازه زمانی در سال ۲۰۰۸ حدود ۶۲ کیلومتر مربع است که به آلودگی بنادر سیراف و قسمتی از بندر کنگان منجر شده است، همچنین در سال ۲۰۱۲ نیز رشد لکه نفتی در سمت جنوب عسلویه به آلوده شدن خلیج نایند در ۳۰ کیلومتری عسلویه منجر شد [۹].

لی دانگ و همکاران از مدل مایک ۲۱ برای شبیه‌سازی انتقال آلودگی شیمیایی در رودخانه‌های متنه به ساحل و نواحی کم عمق ساحلی استفاده کردند. آن‌ها بر اساس نتایج شبیه‌سازی، روشی برای تحلیل خطر حادث آلوده کننده آب‌های ساحلی (CAWPRA^(۱)) پیشنهاد داده‌اند [۱۰].

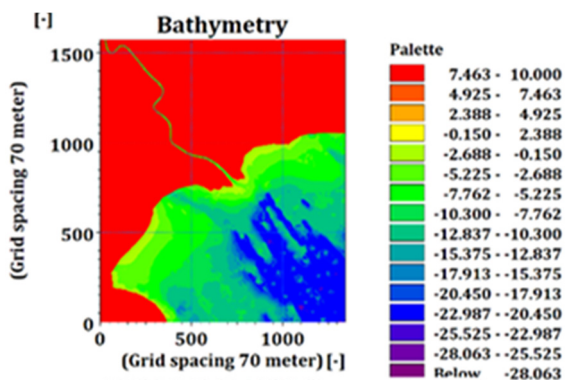
انتشار نفت در محیط‌های دریایی به خسارت‌های جدی زیست‌محیطی، اثرات کوتاه و بلندمدت قابل توجه بر چرخه حیات آبزیان، اکولوژی منطقه، فعالیت اجتماعی و اقتصادی می‌انجامد [۲]. کشتی‌های باری و خطوط لوله دریایی حجم عظیمی از نفت خام را در سراسر مناطق باز و ساحلی منتقل می‌کنند. این حمل و نقل سبب افزایش پتانسیل نشت نفت و آسیب دیدن اکوسیستم دریایی شده است [۳]. بیش از ۴۱۰۰ مورد نشت‌های بزرگ نفتی و ۱۰۰۰۰۰ گالن در سراسر جهان از سال ۱۹۹۵ تا ۱۹۹۷ رخداده است [۴]. ازین‌رو، شبیه‌سازی عددی پخش و انتشار نفت با استفاده از مدل ریاضی، مبنای مهمی برای مطالعات و تحقیقات آینده است. عوامل بسیاری بر پخش و وضعیت انتشار لکه نفتی در محیط دریایی اثرگذارند. از مهم‌ترین عوامل مؤثر بر پخش و انتشار لکه نفتی در محیط دریایی می‌توان از حجم اولیه لکه نفت رهاسده، ترکیبات آب و گردش آن در زیر و اطراف منطقه نشت نفت نام برد. سرنوشت نفت رهاسده به خصوصیات فیزیکی، شیمیایی نفت و هواشناسی منطقه از قبیل تبخیر، انحلال، و امولسیون، بستگی دارد. این مدل همه عوامل یادشده را موردنبررسی قرار می‌دهد.

داشتن اطلاعات مربوط به پخش، انتشار و زوال لکه نفتی یکی از ملزمومات اساسی برای طراحی و آماده‌سازی برنامه مدیریت بلایای طبیعی در فعالیت‌های فعلی و آتی مرتبط با هیدرورکرین‌های دریایی است [۵]. می‌توان با شبیه‌سازی ریاضی پخش و انتشار لکه نفتی تصاویری از منطقه تحت تأثیر در شرایط مختلف آب هوا بی به دست آورد [۶]. اروندرود یکی از مهم‌ترین منابع آب‌های جاری استان خوزستان و کشور است که نقش مهمی در تعادل زیستی، اکولوژیکی، اجتماعی و شکوفایی اقتصاد و پیشرفت صنایع دارد. این رودخانه از دیرباز و به‌طور مستمر باعث ارتباط و انتقال فرآورده‌های نفتی و صادرات و واردات کالاهای تجاری و کشاورزی از طریق سه بندر مهم خود یعنی آبادان، خرمشهر و بصره بوده و نیاز مردم شهر آبادان به آب شرب و کشاورزی، نخلات، مراکز صنعتی مهم و بزرگ شیمیایی و غذایی را بر طرف می‌ساخته است. با آگاهی از موقعیت مناطق مستعد و آسیب‌پذیر در برابر آلودگی‌های نفتی، نتایج شبیه‌سازی می‌تواند پایه‌ای برای ارزیابی پتانسیل

و تغییرات تراز سطح آب به صورت یک عدد ثابت (۰/۵) به مرز بالادست در بازه زمانی مورد مطالعه به بخش هیدرودینامیکی اعمال شده است. در شکل ۱ تغییرات تراز سطح آب نشان داده شده است.



شکل ۱. تغییرات تراز سطح آب اعمال شده به مرز دریا



شکل ۲. ژرف‌سنجی رودخانه ارونده

۲-۲. منطقه موردمطالعه

طول بخش مرزی رودخانه ارونده ۸۴ کیلومتر و طول سراسری آن حدود ۱۹۰ کیلومتر است، رودخانه ارونده از تلاقی رودخانه دجله و فرات در بالادست بصره تشکیل می‌شود، مسیر کلی رودخانه ارونده جنوب شرقی و شیب متوسط آن صفر است [۱۱].

رودخانه ارونده از محل القرنه رو به سوی جنوب غربی از کنار شهر بصره می‌گذرد و در نقطه‌ای به مختصات طولی ۴۸ درجه و ۶ دقیقه و عرضی حدود ۳۰ درجه و ۲۷ دقیقه به مرز ایران و عراق وارد می‌شود، این رودخانه در شهر خرم‌شهر با شاخه غربی رود کارون مخلوط شده و شهرستان‌های خرم‌شهر و آبدان را طی می‌کند و در هشت کیلومتری جنوب ارونده به خلیج فارس می‌ریزد [۱۱].

۲. مواد و روش‌ها

جوابات جزر و مدی منطقه با استفاده از ماثول MIKE 21 HD از بسته نرم‌افزاری MIKE 21 شیوه‌سازی شد. این شیوه‌سازی به مدت ۳ ماه از تاریخ ۲۰۱۴/۰۲/۲۱ صورت گرفت. اساس مدل هیدرودینامیکی مایک ۲۱ حل معادله‌های دیفرانسیل حاکم بر جریان دو بعدی است. همانند سایر معادله‌ها آن‌ها نیز نیازمند یکسری شرایط مرزی هستند. این شرایط مرزی عبارت است از فشار (ارتفاع سطح آب) در مرزهای باز، عمق‌سنجی مناسب، مقاومت کف و سرعت، جهت و ضریب برشی باد. برای دستیابی به بهترین الگوی هیدرودینامیکی در این رودخانه، بیش از هر چیز به انتخاب صحیح مرزهای باز نیاز است.

۲-۱. ایجاد دامنه حل و اعمال شرایط مرزی و اولیه

در این مقاله، دامنه شیوه‌سازی رودخانه ارونده است که به صورت یک فایل عمق‌سنجی به نرم‌افزار اعمال شده است. عمق‌سنجی حاصل از رقومی کردن نقشه‌های با مقیاس ۱:۵۰۰۰ است و همچنین گردیده‌بندی به صورت شبکه‌های ۷۰×۷۰ صورت گرفته شده، لازم به یادآوری است این نقشه‌ها با وضوح بالا از اداره کل بندر و دریانوردی خرمشهر دریافت شده است. شکل ۲ ژرف‌سنجی اعمال شده به نرم‌افزار را نشان می‌دهد. در این تحقیق دو مرز باز (مرز دریا و مرز بالا دست رودخانه) برای مدل در نظر گرفته شده و نوسان سطح آب در مرز دریا به صورت سری زمانی به مدل وارد شده است. این سری زمانی، به کمک ابزار پیش‌بینی جزو مرد ۲۱ ساخته شده است. دامنه جزرومدی، در جعبه‌ابزار مایک ۲۱ ساخته شده است. دامنه و فاز چهار مؤلفه اصلی جزو مرد (S₂, M₂, O₁, K₁) مربوط به دهانه اروندرود از کتاب جداول‌های جزو مرد آدمیرالی استخراج و به مدل معرفی شده‌اند. این منطقه، منطبق بر مرز جنوبی در مدل بوده، دامنه و فاز جزء و مدی مؤلفه‌های قیدشده در جدول ۱ نشان داده شده‌اند.

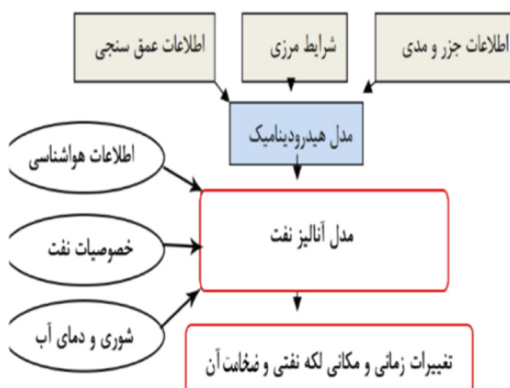
جدول ۱. مؤلفه‌های جزو مردی مرز جنوبی مدل

نام مؤلفه	O ₁	K ₁	S ₂	M ₂
دامنه (متر)	۰/۳	۰/۵	۰/۲۹	۰/۸۴
فاز(درجه)	۲۴۷	۲۹۵	۹	۳۰۸

شده است، معادله‌های گفته شده با گسته سازی به روش تفاضل محدود و بر شبکه منظم حل شده‌اند. در شکل ۴ فلوچارت مدل هیدرودینامیکی و مدل نفت آورده شده است.

جدول ۲. معرفی کمیت‌های معادله‌های مدل جریان

$h(x, y, t)$	عمق آب ($= \zeta - d$, m)
$\zeta(x, y, t)$	تراز سطح آب (m)
$d(x, y, t)$	تغییرات زمانی عمق آب (m)
$p, q(x, y, t)$	چگالی شارش در جهت x, y ($m^3/s/m$)
g	شتاب گرانش (m/s^2)
$C(x, y)$	مقاومت شری ($m^{1/2}/s$)
$\Omega(x, y)$	پارامتر کوریولیس وابسته به عرض جغرافیایی (s^{-1})
V, V_x, V_y	سرعت باد و مولفه‌های آن در جهت‌های x و y (m/s)
$p_a(x, y, t)$	فشار اتمسفر ($kg/m/s^2$)
ρ_w	چگالی آب (kg/m^3)
t	زمان (s)
$\tau_{yy} \tau_{xx} \tau_{xy}$	مولفه‌های تنش برشی موثر



شکل ۴. فلوچارت مدل هیدرودینامیکی و شیوه‌سازی انتشار نفت

۴-۲. حساسیت‌سنجی مدل هیدرودینامیک

شیوه‌سازی ریاضی با ضرایب مانینگ^۳ مختلف انجام شد و ضریب مانینگ ۶۵ به عنوان ضریب مناسب برای شیوه‌سازی انتخاب شده است. شکل ۵ و ۶ به ترتیب سری زمانی تراز جزرومدی در بندر فاو و سرعت جریان در اسکله شیلات آبادان برای ضریب مانینگ ۴۰، ۷۵، ۶۵ و ۹۰ و داده‌های میدانی با هم مقایسه شده است. تغییرات تراز جزرومدی با ضریب مانینگ به دلیل رابطه مستقیم بین ضریب مانینگ و مقاومت بستر است.

عرض دهانه رودخانه ۲۳۰۰ متر و رنج تغییرات جزرومد در دهانه رودخانه برابر با ۳ متر بوده و بدین سبب خور رودخانه‌ای ارونند به لحاظ طبقه‌بندی جزر و مدی در دسته خورهای کشنده میانه قرار می‌گیرد و از نظر طبقه‌بندی شوری، خور رودخانه‌ای ارونند در دسته خور رودخانه‌ای با اختلال ناقص قرار می‌گیرد [۱۱]. شکل ۳ منطقه مورد مطالعه را نشان داده است.



شکل ۳. منطقه مورد مطالعه

۳-۲. مبانی تئوری و معادله‌های حاکم

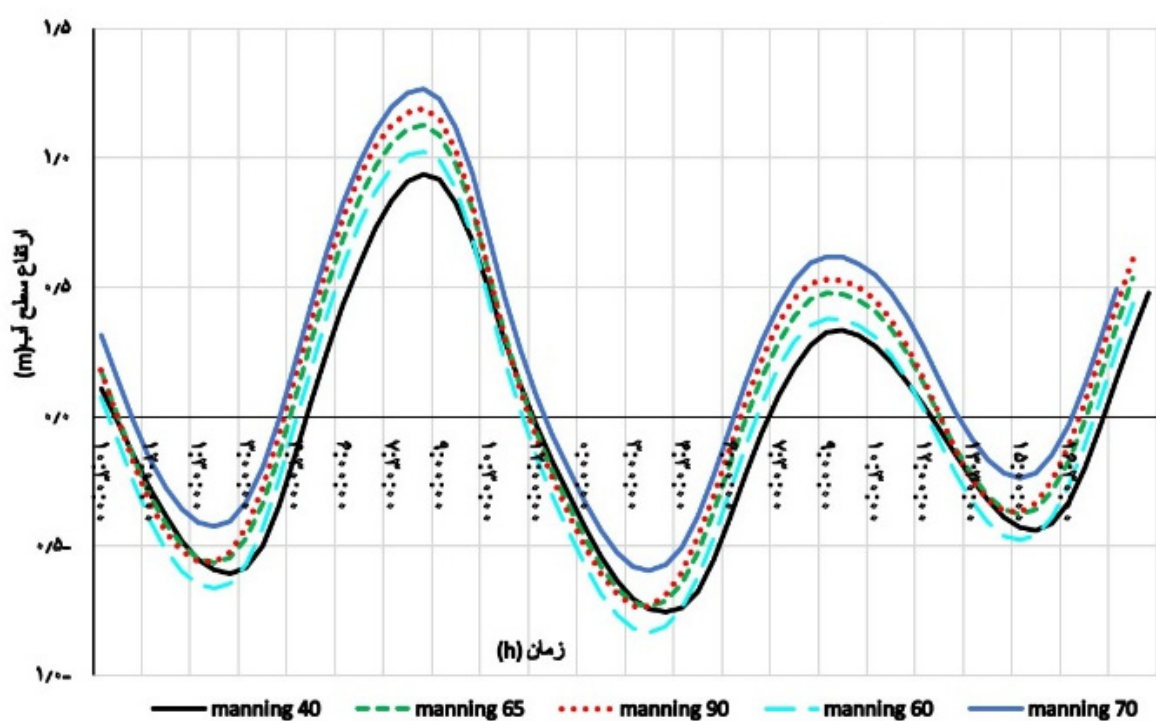
مدل مایک بر پایه روش اویلری توسعه داده شده است و در آن برای مشخص کردن الگوی جریان از معادله‌های پیوستگی و ممتوtom (معادله‌های ناویر استوکس متوسط گیری شده در عمق) و معادله‌های (۱)، (۲) و (۳) استفاده شده است [۱۲].

$$\frac{\partial \zeta}{\partial t} + \frac{\partial p}{\partial x} + \frac{\partial q}{\partial y} = \frac{\partial d}{\partial t} \quad (1)$$

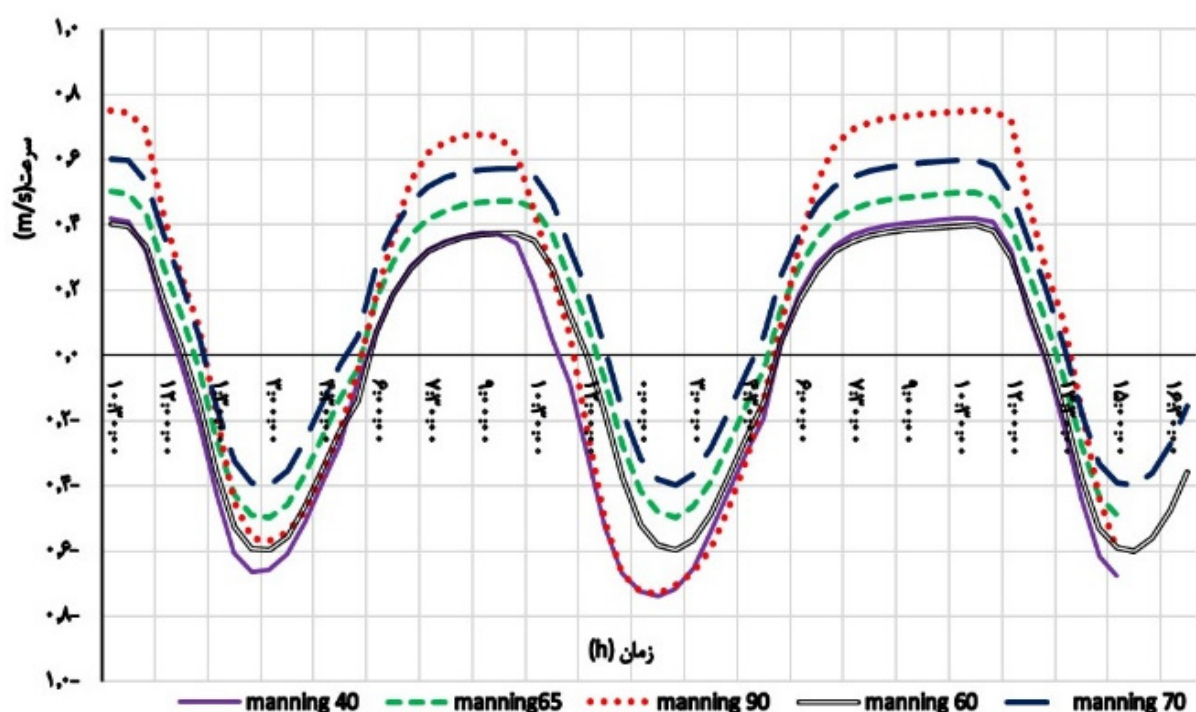
$$\begin{cases} \frac{\partial p}{\partial t} + \frac{\partial}{\partial x} \left(\frac{p^2}{h} \right) + \frac{\partial}{\partial y} \left(\frac{pq}{h} \right) + gh \frac{\partial \zeta}{\partial x} + gh \sqrt{\frac{p^2}{c^2 \cdot h^2} + \frac{q^2}{h^2}} \\ - \frac{1}{p_w} \left[\frac{\partial}{\partial x} (h \tau_{xx}) + \frac{\partial}{\partial y} (h \tau_{xy}) \right] + \Omega_q - f v w_x + \frac{h}{p_w} \frac{\partial}{\partial x} (p_a) = 0 \end{cases} \quad (2)$$

$$\begin{cases} \frac{\partial p}{\partial t} + \frac{\partial}{\partial x} \left(\frac{p^2}{h} \right) + \frac{\partial}{\partial y} \left(\frac{pq}{h} \right) + gh \frac{\partial \zeta}{\partial x} + gh \sqrt{\frac{p^2}{c^2 \cdot h^2} + \frac{q^2}{h^2}} \\ - \frac{1}{p_w} \left[\frac{\partial}{\partial x} (h \tau_{yy}) + \frac{\partial}{\partial y} (h \tau_{xy}) \right] + \Omega_q - f v w_x + \frac{h}{p_w} \frac{\partial}{\partial x} (p_a) = 0 \end{cases} \quad (3)$$

کمیت‌های استفاده شده در این معادله‌ها در جدول ۲ آورده



شکل ۵. حساسیت‌سنگی تغییرات تراز سطح آب در بندر فاو (جدول آدمیرالی)



شکل ۶. حساسیت سرعت جریان آب به زیری بستر در مقابل اسکله شیلات آبادان

ویسکوزیته گردابی بر اساس فرمول‌بندی اسماگورینسکی^۴ با مقدار ثابت $28/0$ در نظر گرفته شده که به ازای این مقادیر نتایج شبیه‌سازی با دقت بسیار خوب به نتایج اندازه‌گیری شده تطابق می‌یابند بازه زمانی شبیه‌سازی هیدرودینامیکی به

۵-۲. واسنجی و صحت سنگی مدل

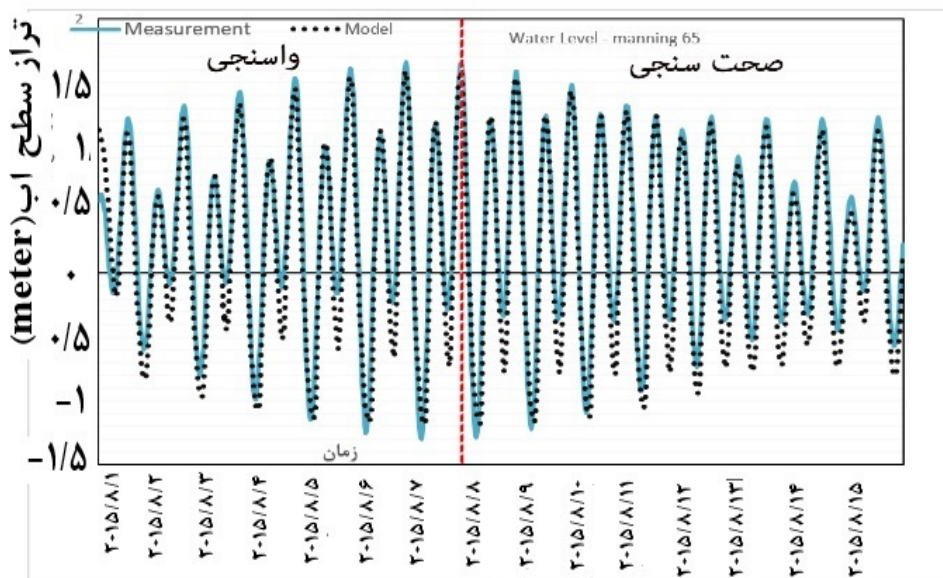
مدل هیدرودینامیک با اطلاعات اندازه‌گیری شده در محدوده اسکله شیلات آبادان و مؤلفه‌های جزو مردمی بندر فاو کالیبره شد. در شبیه‌سازی‌های انجام شده عدد مانینگ برابر با ۶۵ و

نمودار پراکندگی جریان آب حاصل از مدل و اندازه‌گیری میدانی به همراه شاخص‌های آماری و معادله رگرسیون خطی آورده شده است، مقادیر ضریب همبستگی ($R^2 = 0.96$) و خطای مجدد میانگین مربعات ($Rmse = 0.127$) و رگرسیون خطی ($0.1088x - 1.0386 = y$) نشان می‌دهد.

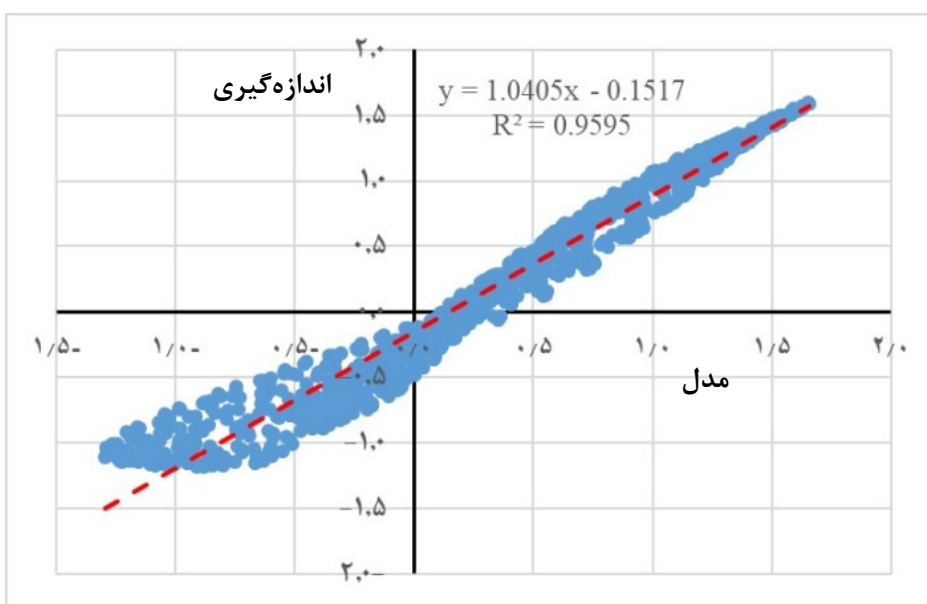
محاسبه آماری نشان می‌دهد نتایج محاسبات از دقت و کیفیت قابل قبولی برخوردار بوده است و همچنین این پیش‌بینی‌ها با نتایج لورنتزن تطابق بسیار خوبی دارد [۱۳].

مدت سه ماه اجرا شده است شکل (۷) نشان‌دهنده واسنجی و صحبت سنجی تراز سطح آب در بندر فاو است. در شکل ۸ نمودار پراکندگی تراز آب حاصل از مدل و اندازه‌گیری میدانی به همراه شاخص‌های آماری و معادله رگرسیون خطی آورده شده است. مقادیر ضریب همبستگی ($R^2 = 0.95$) و خطای مجدد میانگین مربعات ($Rmse = 0.228$) و رگرسیون خطی ($0.1517x - 1.0405 = y$) است.

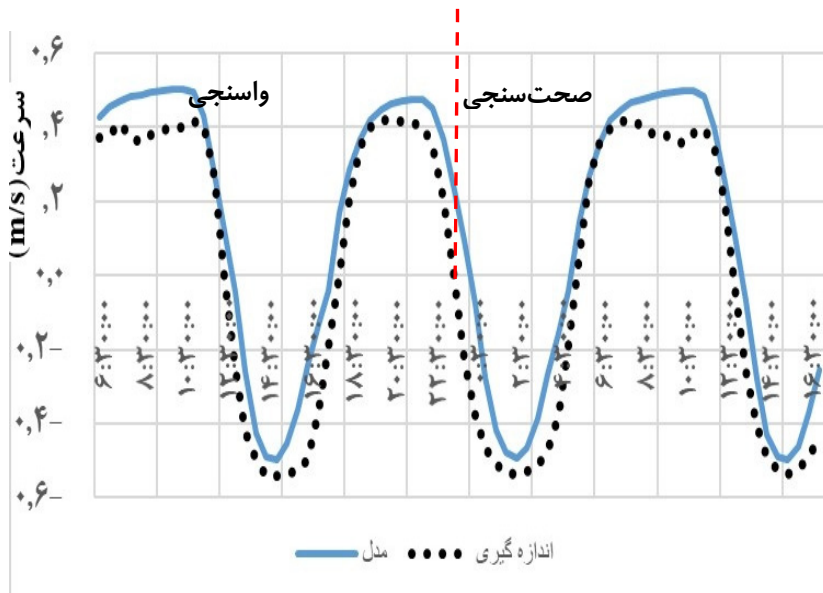
شکل (۹) نشان‌دهنده واسنجی و صحبت‌سنجی جریان آب در مقابل اسکله شیلات آبادان است، همچنین در شکل (۱۰)



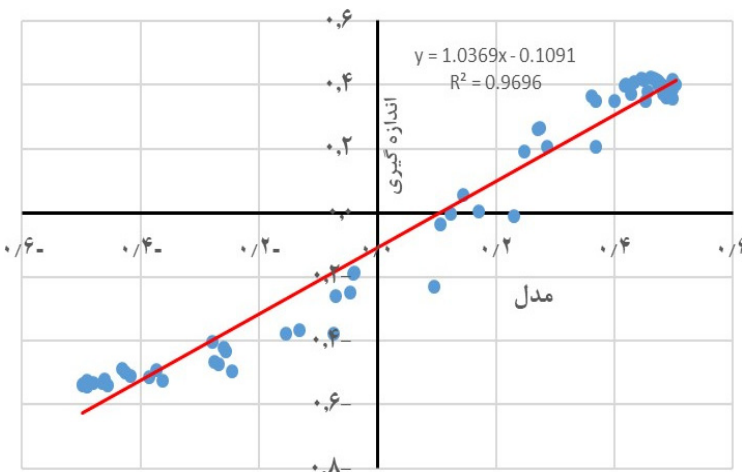
شکل ۷. واسنجی و صحبت‌سنجی تغییرات تراز سطح آب نتایج مدل و نتایج داده‌های اندازه‌گیری شده در بندر فاو (جدوال جزو مردمی آدمیرالی)



شکل ۸. نمودار پراکندگی نتایج مدل و میدانی تراز آب



شکل ۹. واسنجی و صحت‌سنجمی جریان آب نتایج مدل با نتایج داده‌های اندازه‌گیری شده مقابله شیلات آبادان



شکل ۱۰. نمودار پراکندکش نتایج مدل و میدانی جریان آب

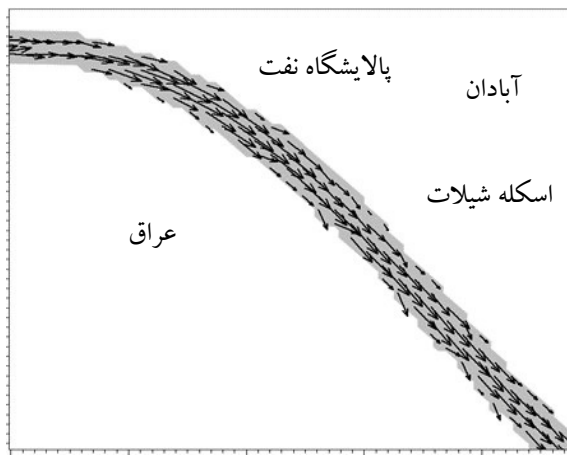
نفتی ریخته شده در بازه زمانی سه ساعت با دبی ثابت $0/0\ 185$ مترمکعب بر ثانیه است. دما و شوری آب ثابت و به ترتیب برابر با 26 درجه سانتی گراد و 2 psu هستند. درجه حرارت هوا و میزان ابرناکی منطقه به صورت سری زمانی به مدل اعمال شده است. مقادیر ثابت ضریب بازتابش نفت، آب و هوا برای موازنۀ حرارتی لکه نفتی به ترتیب مقادیر $0/82$ ، $0/98$ و $0/29$ در نظر گرفته شده است. ثابت تبخیر به کار رفته در شیوه‌سازی $0/029$ است که نسبت مستقیم با میزان آب و نفت تبخیر شده دارد.

به علت پدیدۀ امولسیون حجم نفت در ستون آب افزایش یافته است، که این خود موجب افزایش مقدار ویسکوزیتۀ می‌شود.

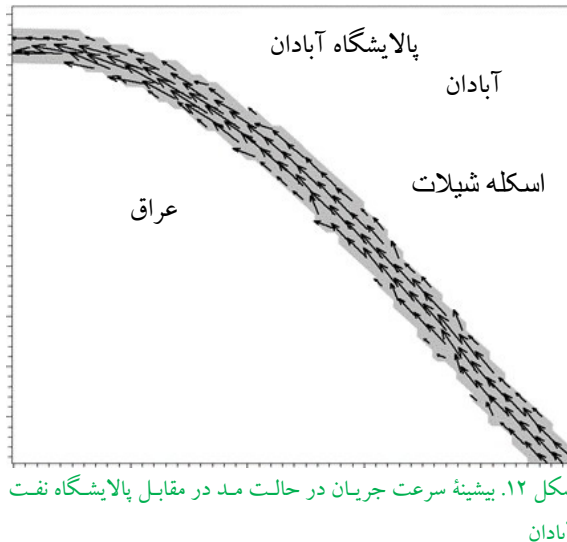
۳. شیوه‌سازی پخش و انتشار آلودگی نفتی

در این مرحله پس از شیوه‌سازی جریان‌های جزر و مدی و شرایط هیدرودینامیک منطقه، به مدل‌سازی پخش و انتشار لکه نفتی ناشی از تخلیۀ $200\ m^3$ آلایندۀ نفتی که در مدت زمان 3 ساعت با دبی $0/0\ 185$ مترمکعب بر ثانیه به داخل رودخانه ارونده نشت پیدا کرده است، پرداخته می‌شود. این مرحله شامل برپایی مدل و آماده‌سازی داده‌هایی مانند، فایل خروجی مدل جریان هیدرودینامیک مرحله قبل که شامل تاریخچه زمانی تغییرات عمق آب، تراز سطح آب و تغییرات شار جریان در راستای X و Y با گام زمانی 60 ثانیه به صورت دو بعدی منظم است، فایل سری زمانی دبی آلودگی

ساعت از لحظه شروع رهاسازی، لکه نفتی به سمت دریا حرکت کرده (شکل ۱۳ تا ۱۶)، سپس از ساعت ششم تا دوازدهم (شکل ۱۶ تا ۱۷) لکه نفتی به سمت بالا دست رودخانه حرکت کرده است، در ادامه ۷ کیلومتر از قسمت بالا در معرض آلودگی قرار گرفته است، به طوری که این روند طی سیکل جزر و مدی تکرار می‌شود، درنهایت اولین لکه نفتی بعد از ۱۲۴ ساعت از رهاسازی لکه نفتی به دریا می‌رسد و منطقه دریا را آلوده می‌سازد. این موضوع با نتایج حاصل از مدل سازی هیدرودینامیک جریانات منطقه و کثربت و شدت بردارهای جریان حاکم تطابق و هماهنگی دارد. بر اساس محاسبات انجام شده به وسیله مدل حجم نفت خارج شده از مرزهای باز محدوده کلی مدل سازی شده در این بخش در حدود صفر است.



شکل ۱۱. یشینه سرعت جریان در حالت جزر مقابل پالایشگاه نفت آبادان



شکل ۱۲. یشینه سرعت جریان در حالت مد در مقابل پالایشگاه نفت آبادان

به منظور انجام فرایند امولسیون شدن نفت در آب و آب در نفت ضریب حداکثر حجم آب $0/85$ ، حجم آسفالتین $0/05$ ، درصد حجم واکس $5/7$ ، ثابت جذب آب 5 e^{-007} و ثابت رها آب $1/25 \text{ e}^{-005}$ (پیش فرض مدل) است.

برای تعیین میزان انحلال نفت در ستون آب ضریب تبادل جرمی انحلال نفت برابر با $2/36 \text{ e}^{-006}$ (پیش فرض مدل) در نظر گرفته شده است، ویژگی لکه نفتی شامل نوع نفت، درصد حجمی اجزاء تشکیل دهنده آن و نقطه جوش هر یک از اجزاء نفت اعمال شده به مدل در جدول ۳ آمد شده است.

جدول ۳. مشخصات نفت در مدل (DHI, 2012)

شماره	ترکیب نفت	نقطه جوش	درصد جزئی
۱	C ₆ H ₁₂	۶۹-۲۳۰	۷/۴
۲	C ₁₃ H ₂₅	۲۳۰-۴۰۵	۱۷/۳
۳	C ₆ H ₁₂	۷۰-۲۳۰	۲/۸
۴	C ₁₃ H ₂₃	۲۳۰-۴۰۵	۶/۵
۵	C ₆ H ₁₁	۸۰-۲۴۰	۱۹/۸
۶	C ₂ H ₁₈	۲۴۰-۴۰۰	۴۶/۲
۷	C ₉ H ₂₅	۱۸۰-۴۰۰	.
۸	باقی مانده	۴۰۰<	.

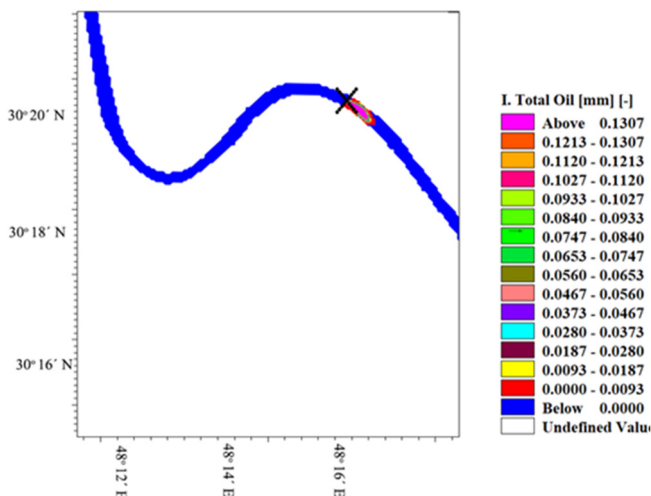
۴. نتایج شبیه‌سازی هیدرودینامیکی

به منظور بررسی الگوی جریان در اروندرود، بردارهای میانگین جریان از سطح تا بستر در بازه زمانی مختلف در دو حالت جزر و مد در دهانه اروندرود به صورت شکل ۱۱ و ۱۲ نشان داده شده و با بررسی رفتار عددی مبحث تری و خشکی در مطالعات جزو مردم از طریق بررسی مکرر سلول‌های تر و خشک در نظر گرفته شده است.

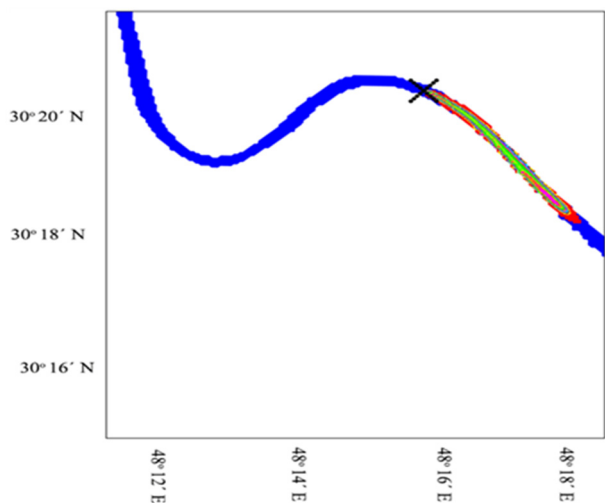
۵. نتایج حاصل از شبیه‌سازی الگوی پخش و انتشار آلودگی نفتی

در شکل ۱۳ تا ۱۹ وضعیت لکه نفتی از شروع نشت نفت تا لحظه رسیدن لکه نفتی به خلیج فارس نشان داده شده است.

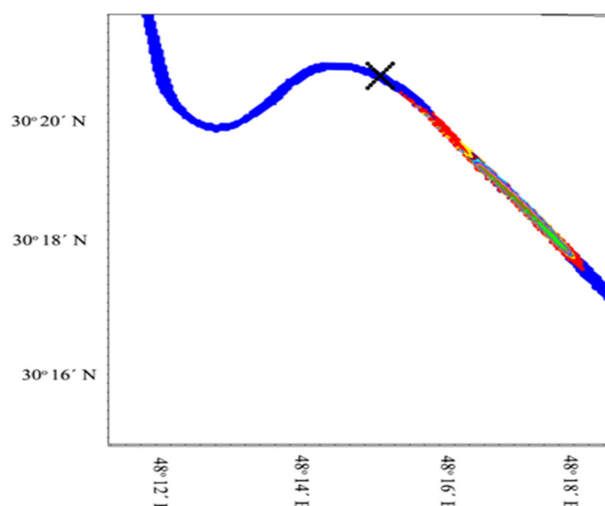
لکه نفتی پس از رها شدن، با جریان به سمت دریا حرکت کرده، سپس با تغییر رژیم جریان از جزر به مد به سمت بالا دست رودخانه حرکت کرده است، به طوری که پس از ۶



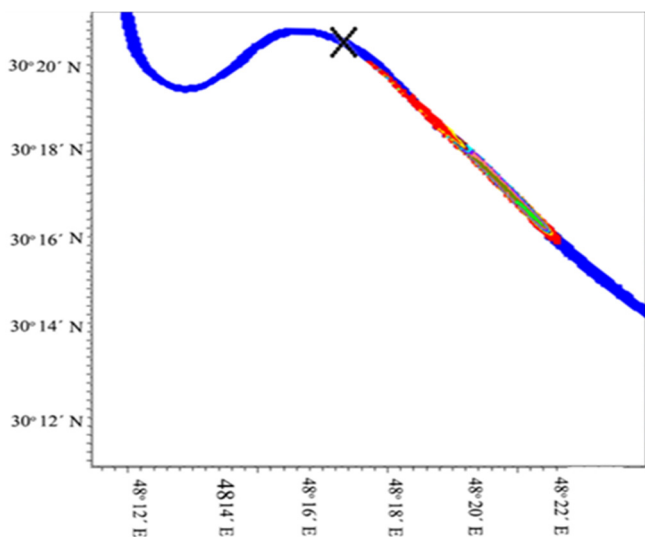
شکل ۱۳. وضعیت لکه نفتی پس از ۱ ساعت (۲۰۱۴/۲/۲۱: ساعت ۷)



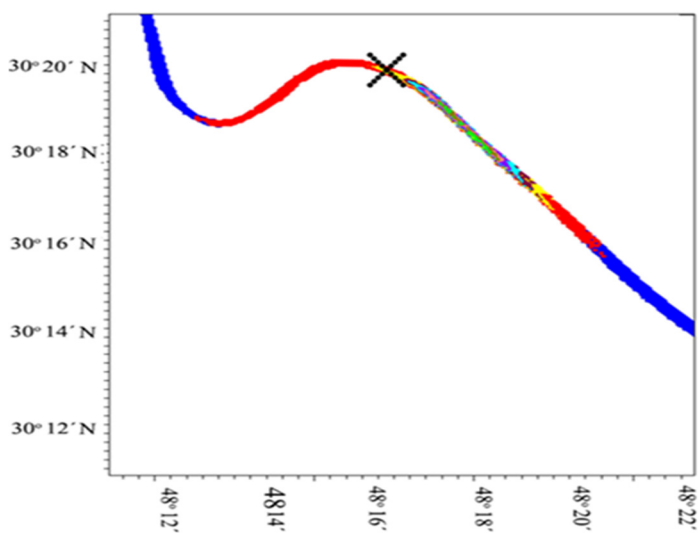
شکل ۱۴. وضعیت لکه نفتی پس از ۳ ساعت (۲۰۱۴/۲/۲۱: ساعت ۹)



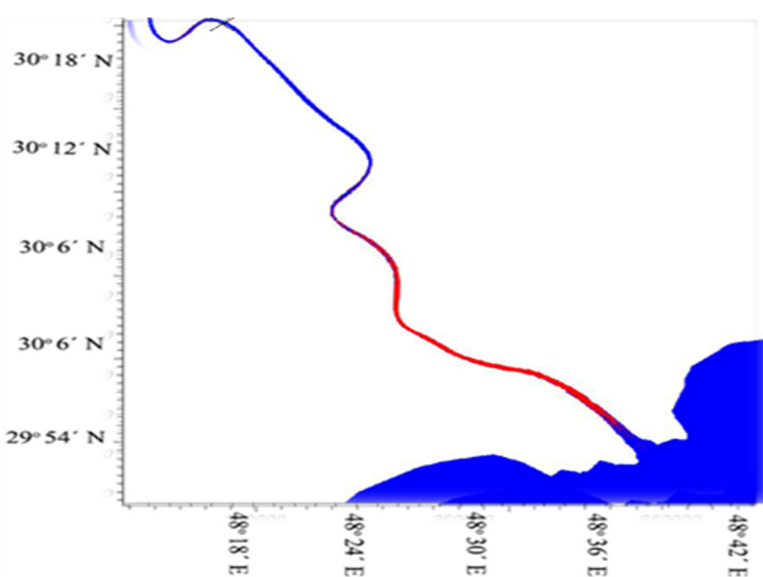
شکل ۱۵. وضعیت لکه نفتی پس از ۴ ساعت (۲۰۱۴/۲/۲۱: ساعت ۱۰)



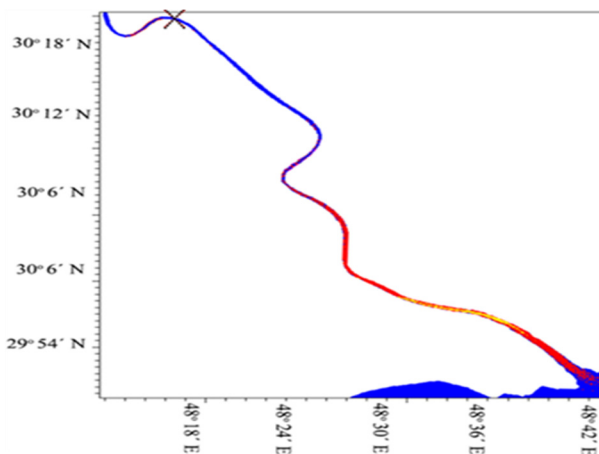
شکل ۱۶. وضعیت لکه نفتی پس از ۶ ساعت (۲۰۱۴/۲/۲۲ ساعت ۰۰)



شکل ۱۷. وضعیت لکه نفتی پس از ۱۲ ساعت (۲۰۱۴/۲/۲۲ ساعت ۰۶)



شکل ۱۸. وضعیت لکه نفتی پس از ۱۲۳ ساعت (۲۰۱۴/۲/۲۶ ساعت ۲۱)



شکل ۱۹. وضعیت لکه نفتی پس از ساعت ۱۲۴ (۲۶/۰۲/۲۰ ساعت ۲۲)

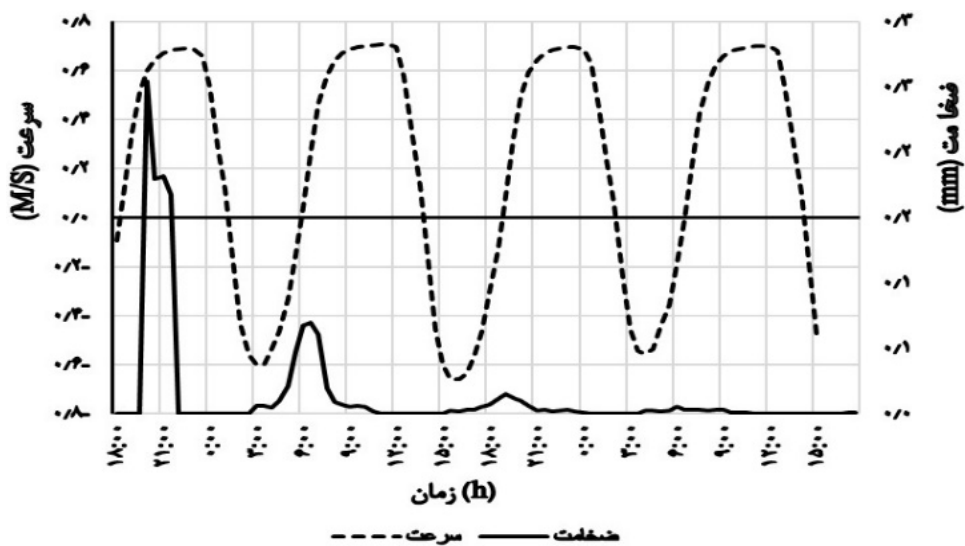
نقاط بالا دست صفر است. با تغییر رژیم جریان از جزر به مده، لکه نفتی به سمت بالا دست حرکت می‌کند و بعد از ۹ ساعت لکه نفتی به یک کیلومتری بالا دست می‌رسد پس ضخامت افزایش پیدا می‌کند و با کامل شدن روند مده لکه نفتی به سمت بالا دست حرکت می‌کند و ضخامت لکه نفتی در نقطه موردنظر کاهش می‌یابد، هنگامی که دوباره جزر آغاز می‌شود لکه نفتی به سمت پایین دست حرکت می‌کند و ضخامت در سلول موردنظر در وسط رودخانه افزایش می‌یابد. با کامل شدن جزر و حرکت لکه نفتی به سمت پایین دست، ضخامت در این نقطه کاهش می‌یابد. در بیشینه سرعت جزر باقی مانده لکه نفتی از گوشه و کنار به سمت پایین دست حرکت می‌کند، درنهایت ضخامت افزایش می‌یابد.

روند تغییرات ضخامت در شکل ۲۲ شیوه به شکل ۲۰ است، با این تفاوت که لکه نفتی بعد از ۳ ساعت به ۵ کیلومتری پایین دست می‌رسد و ضخامت در این نقطه، به دلیل کمتر بودن عرض رودخانه بزرگ‌تر از ضخامت در ۱ کیلومتری پایین دست است.

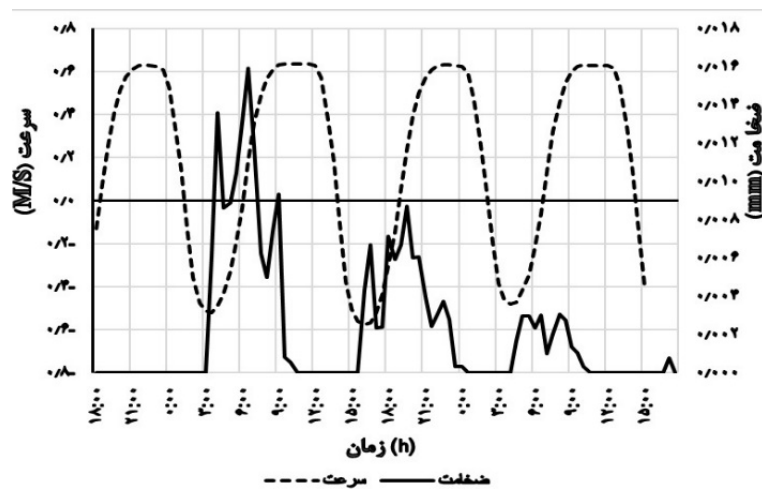
روند ضخامت لکه نفتی در شکل ۲۳ مانند شکل ۲۱ است، با این تفاوت که لکه نفتی پس از ۱۰/۵ ساعت به ۵ کیلومتری بالا دست می‌رسد و ضخامت به دلیل فاصله از منبع آلودگی و کم بودن آلودگی در بالا دست در هنگام بیشینه سرعت جزر به مقدار ناچیزی افزایش می‌یابد.

در شکل های ۲۰ تا ۲۳ سری زمانی تغییرات ضخامت لکه نفتی در قسمت بالا دست و پایین دست منبع آلودگی نشان داده شده است، با توجه به اینکه نشت نفت در هنگام جزر اتفاق می‌افتد و لکه نفتی ابتدا به سمت پایین دست رودخانه حرکت می‌کند، ضخامت لکه نفتی در قسمت پایین دست نسبت به قسمت بالا دست رودخانه بزرگ‌تر است از آنجاکه لکه نفتی در هنگام جزر رها شده و نشت نفت به مدت ۳ ساعت رخ می‌دهد؛ بنابراین در شکل ۲۰ لکه نفتی به سمت پایین دست حرکت می‌کند و پس از ۱/۵ ساعت به یک کیلومتری پایین دست می‌رسد و ضخامت آن افزایش پیدا می‌کند، در ادامه روند جزر لکه نفتی از نقطه موردنظر در وسط رودخانه به سمت پایین دست رفته و باعث کاهش ضخامت لکه نفتی در این نقطه می‌شود، طوری که ضخامت به صفر می‌رسد و درنهایت با تغییر رژیم جریان و آغاز مده همچنان ضخامت در این نقطه صفر است و با افزایش سرعت مده و حرکت لکه نفتی به سمت بالا دست ضخامت افزایش می‌یابد، از آن جا که در جزر سابق لکه نفتی به میزان زیادی از این نقطه دور شده، همچنین به دلیل فرایندهای شیمیایی، بخش کوچکی از لکه نفتی به نقطه موردنظر می‌رسد و باعث به وجود آمدن پیک کوچکی از ضخامت می‌شود.

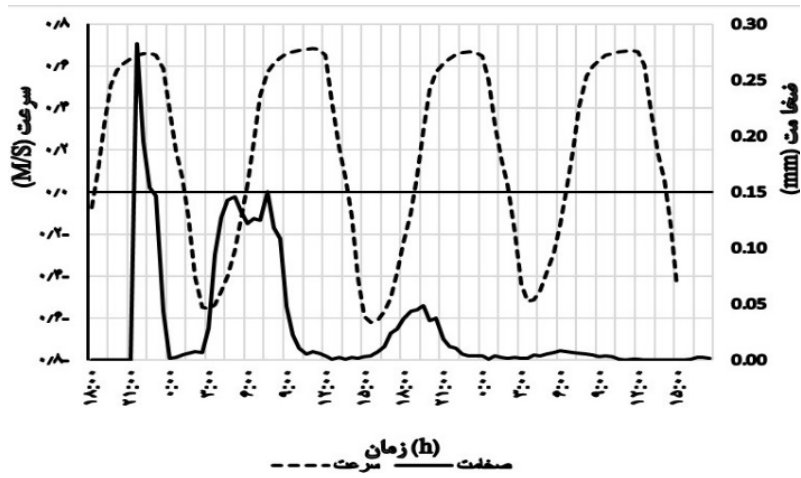
در شکل ۲۱ با توجه به این که لکه نفتی در هنگام جزر رها شده و نفت به مدت سه ساعت نشست شده است، بنابراین ابتدا لکه نفتی به سمت پایین دست حرکت می‌کند و ضخامت در



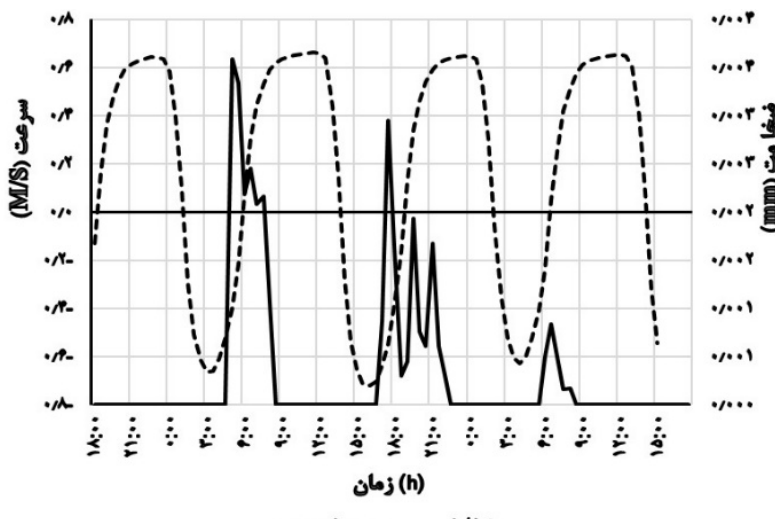
شکل ۲۰. ضخامت لکه نفتی در ۱ کیلومتری پایین دست نقطه رهاسازی لکه نفت



شکل ۲۱. ضخامت لکه نفتی در ۱ کیلومتری بالا دست نقطه رهاسازی لکه نفت



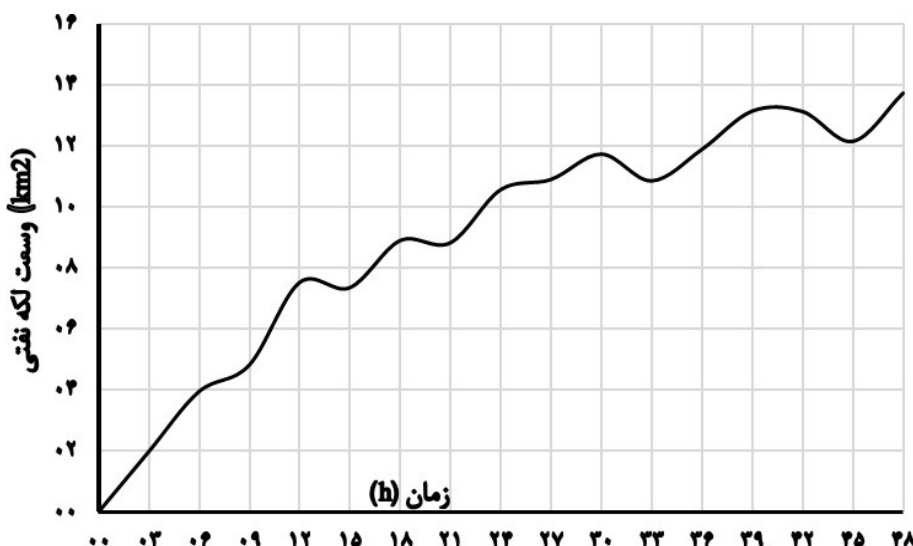
شکل ۲۲. ضخامت لکه نفتی در ۵ کیلومتری پایین دست نقطه رهاسازی لکه نفت



شکل ۲۳. ضخامت لکه نفتی در ۵ کیلومتری بالادست نقطه رهاسازی لکه نفت

درنهایت به دلیل جزر و مد روند نوسانی پیدا می‌کند به طوری که در هنگام مد کاهش پیدا می‌کند و در هنگام جزر افزایش می‌یابد، ولی با گذشت زمان به دلیل به دام اندختن لکه نفتی در ساحل و طی نمودن مسافت بیشتر، روند صعودی خود را حفظ می‌کند.

از آنجاکه سرعت جزر نسبت به سرعت مد بیشتر است؛ بنابراین لکه نفتی در شکل ۲۴، در ساعت‌های اولیه با شبیه تند افزایش پیدا می‌کند و با تغییر رژیم جریان از جزر به مد وسعت لکه نفتی روند افزایش خود را حفظ می‌کند ولی به دلیل برگشتن لکه نفتی با شبیه ملایم‌تری افزایش پیدا کرده و



شکل ۲۴. وسعت لکه نفتی در یک دوره ۴۸ ساعته پس از نشت نفت

۱۲۴ ساعت، پس از رهاسازی لکه نفتی به خلیج فارس می‌رسد، از آنجاکه پخش و انتشار آلودگی نفتی در اروندرود تابع جریان است و در هنگام جزر، جریان طبیعی رودخانه با جریان ناشی از جزر هم سو است، بنابراین جریان و لکه نفتی به سمت خلیج فارس حرکت می‌کنند و در هنگام مد، جریان و آلودگی به سمت بالادست رودخانه حرکت می‌کنند.

۶. نتیجه‌گیری و بحث

از آنجاکه عامل اصلی انتشار آلودگی، جریان است، بنابراین پخش آلودگی در اروندرود تحت تأثیر جریانات کشنندی است و به تبع آن روند پخش آلودگی نفتی نیز حالت رفت و برگشتی دارد. با توجه به نتایج شبیه‌سازی آلودگی حدود

[۸] مؤمن نیا سارا، مدیحی محمد سعید، سیف ا.... راعی محمد، عطایی آشتیانی بهراز. شبیه‌سازی ریاضی الگوی پخش و انتشار آلودگی نفتی در دریا - مطالعه موردنی کanal قشم. ارائه شده در سیزدهمین همایش ملی صنایع دریایی ایران؛ ۱۳۹۰ آبان ۱۷ تا ۱۹؛ جزیره کیش، ایران.

[۹] بدری محمدعلی، فقیهی فرد محسن. شبیه‌سازی عددی آلودگی نفتی بر اساس الگوی بهینه اغتشاشی جریان و تأثیرات باد و جزر و مد. مهندسی مکانیک دانشگاه تبریز، ۱۳۹۴؛ ۴۵(۲۲):۱۵-۲۲.

[10] Dong L, Liu J, Du X, Dai C, Liu RJEI. Simulation-based risk analysis of water pollution accidents combining multi-stressors and multi-receptors in a coastal watershed. 2018;92:161-70.

[11] اعتماد شهیدی امیرفرشاد، صبوری امیرادهم، پارسا جواد. کنترل نفوذ شوری در خور رودخانه‌ای ارونده در شرایط مختلف هیدرولوژیکی. تحقیقات منابع آب ایران. ۱۳۹۰؛ ۶۰-۵۰(۷):۲۰-۶۰.

[12] DHI (Danish Hydraulic Institute). MIKE21: Oil Spill Module Scientific Documentation. Copenhagen: DHI; 2012b.

[13] Lorentzen TJJoMS. Statistical analysis of temperature data sampled at Station-M in the Norwegian Sea. 2014;130:31-45.

از آنجاکه رهاسازی لکه نفتی در هنگام جزر اتفاق می‌افتد، انتشار و پخش لکه نفتی بیشتر به سمت پایین دست است، طوری که بالاتر از ۵ کیلومتر به مردرت آلوده می‌شود.

ضخامت در نقاط پایین دست نسبت به نقاط بالا دست بیشتر است. ضخامت لکه نفتی اغلب به مسافت طی شده و عرض رودخانه بستگی دارد، به طوری که هر چه عرض رودخانه کمتر باشد ضخامت بیشتر و وسعت کمتر است، با افزایش مسافت طی شده ضخامت لکه نفتی کاهش و وسعت آن افزایش می‌یابد.

مراجع

[۱] مهرمطلق محسن. مدل سازی عددی دوبعدی انتقال و پخش آلودگی با روش تفاضلات محدود به صورت صریح Explicit در محیط دریا. ارائه شده در دهمین همایش بین‌المللی سواحل، بنادر و سازه‌های دریایی؛ ۱۳۹۱ آبان ۲۹-آذر ۱؛ تهران، ایران.

[2] Hampson GR, Moul ETJJotFBoC. No. 2 fuel oil spill in Bourne, Massachusetts: Immediate assessment of the effects on marine invertebrates and a 3-year study of growth and recovery of a salt marsh. 1978;35(5):731-44.

[3] Papadimitrakis J, Psaltaki M, Christolis M, Markatos NJEM, Software. Simulating the fate of an oil spill near coastal zones: The case of a spill (from a power plant) at the Greek Island of Lesvos. 2006;21(2):170-7.

[4] Etkin DS, Welch J, editors. OIL SPILL INTELLIGENCE REPORT INTERNATIONAL OIL SPILL DATABASE: TRENDS IN OIL SPILL VOLUMES AND FREQUENCY1. International Oil Spill Conference; 1997: American Petroleum Institute.

[5] Ventikos NP, Psaraftis HNJJoHM. Spill accident modeling: a critical survey of the event-decision network in the context of IMO's formal safety assessment. 2004;107(1-2):59-66.

[6] Reed M, Daling P, Lewis A, Ditlevsen MK, Brørs B, Clark J, et al. Modelling of dispersant application to oil spills in shallow coastal waters. 2004;19(7-8):681-90.

[7] Marinov D, Norro A, Zaldivar J-MJEM. Application of COHERENS model for hydrodynamic investigation of Sacca di Goro coastal lagoon (Italian Adriatic Sea shore). 2006;193(1-2):52-68.

پی‌نوشت‌ها

1. Coastal Accidental Water Pollution Risk Analysis
2. Tidal Prediction of Heights
3. Manning Coefficient
4. Smagorinsky
5. Correlation Coefficient
6. Root Mean Square Error